

第 1 章 计划书

计划书中包含目标阐述、关键问题、具体任务和具体方案。

1.1 目标阐述

红外遥控是利用近红外光进行数据传输的一种控制方式。近红外光波长 0.76um-1.5um，红外遥控收发器件波长一般为 0.8um-0.94um，具有传输效率高，成本低，电路实现简单，抗干扰强等特点，在家用电器上被广泛使用。此处设计一个红外发射接收器与红外接收器，能够实现通过按按钮而发出不同的红外波段，以达到控制的功能。

1.2 关键问题

1. 按按钮发出不一样的红外波段
2. 红外发射和接收稳定，不易受外界波段的干扰
3. 具有可移植接口，方便进一步开发

1.3 具体任务

1. 通过开关控制阻值，以实现不同的射频
2. 加上滤波和放大，以减少外界波段的干扰
3. 采取模块化设计，留有接口

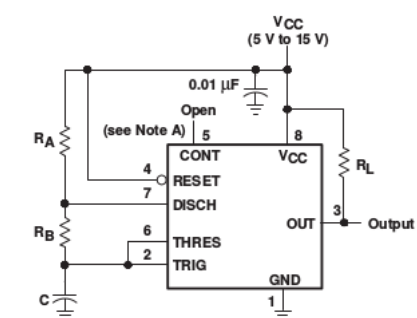
1.4 具体方案和关键技术

详细解释了选用的芯片和原理。

1.4.1 NE555

使用 NE555 产生红外光线。因为 NE555 时基电路（集成电路）性价比高，且价格低廉，外围元件少，根据应用需要可设计不同功能，应用十分广泛。

由 NE555 芯片手册可知，通过控制 RA 和 RB 的比例即可控制频率和占空比。



Pin numbers shown are for the D, JG, P, PS, and PW packages.
NOTE A: Decoupling CONT voltage to ground with a capacitor can improve operation. This should be evaluated for individual applications.

Figure 12. Circuit for Astable Operation

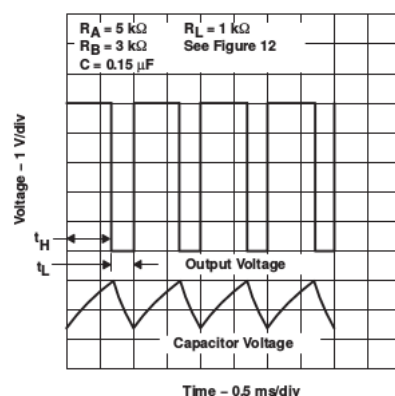


Figure 13. Typical Astable Waveforms

图 1.1 NE555 芯片手册

比方说：使用 NE555 产生 38kHz, 占空比为 1/3 的方波信号。

产生方波的频率 = $0.693 / ((R_A + 2R_B) * C)$ ，占空比 = $R_B / (R_A + 2R_B)$

因为红外发射管最佳的占空比是 1/3, C 一般为 0.01μF, 所以计算之后 $R_A = R_B = 1.2k$

此处，由于我们需要控制发射频率，因此我们把 R_A 变成可调的电阻。

1.4.2 光电二极管

接收我们使用光电二极管用于接收产生的红外信号。光电二极管是一种能够将光根据使用方式，转换成电流或者电压信号的光探测器。管芯常使用一个具有光敏特征的 PN 结，对光的变化非常敏感，具有单向导电性，而且光强不同的时候会改变电学特性，因此，可以利用光照强弱来改变电路中的电流。

1.4.3 BC848B 和 2SC1815 三极管

使用此两款三极管以用于放大和解调。

第 2 章 原理图

包括项目原理图和电路原理图

2.1 项目原理图

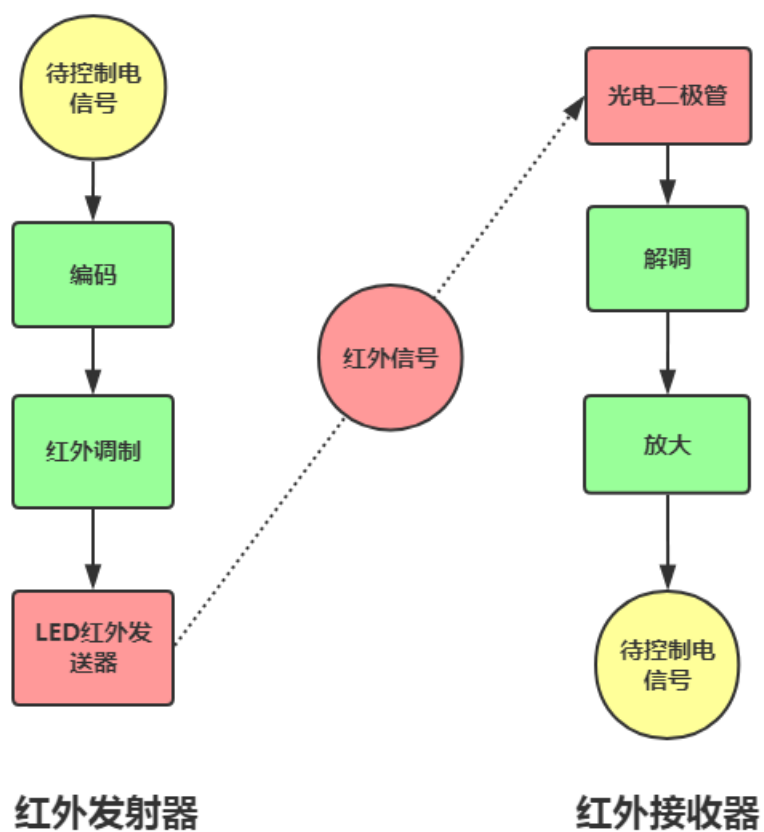


图 2.1 项目原理图

无线遥控器的原理就是发射机把控制的电信号**先编码，然后再调制**，红外调制或者无线调频、调幅，转换成无线信号发送出去。

接收机收到载有信息的无线电波**接收，放大，解码**，得到原先的控制电信号，把这个电信号再进行功率放大用来驱动相关的电气元件，实现无线的遥控。

2.2 线路原理图

2.2.1 红外发射线路原理图

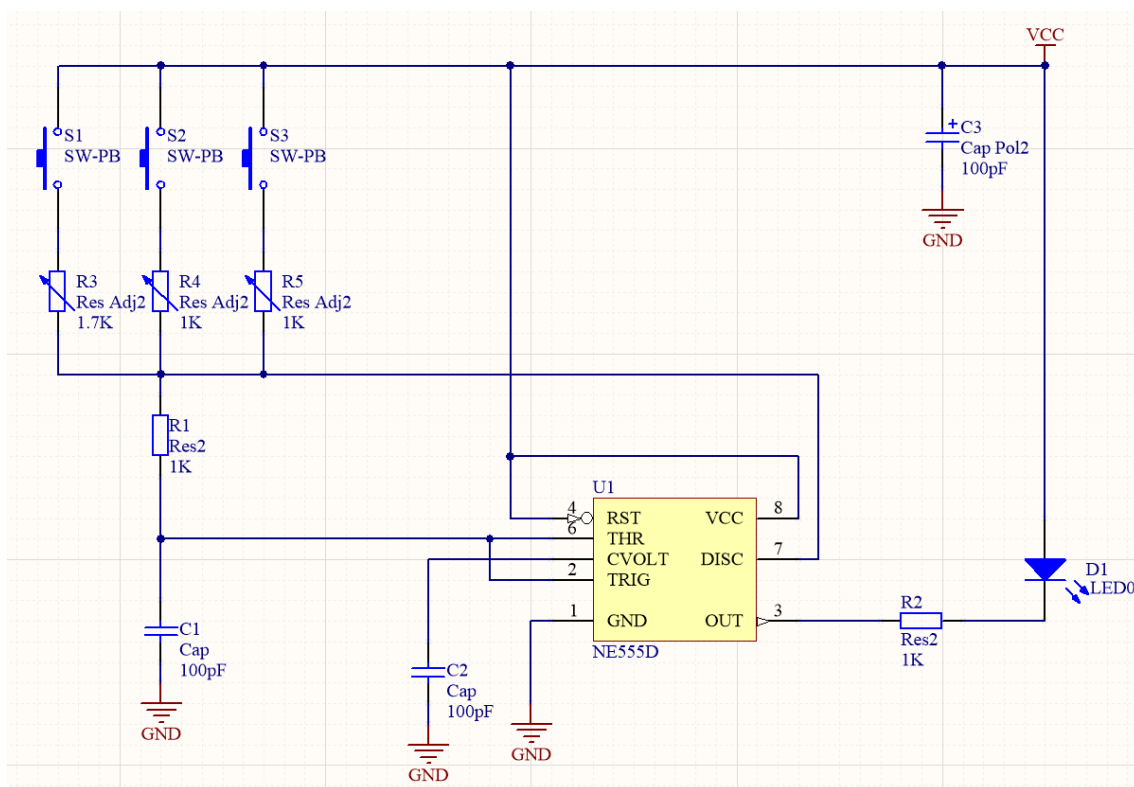


图 2.2 红外发射线路原理图

红外发射电路采用 NE555 接成振荡电路，如图所示。振荡频率由 SA1~SA3 开关控制，改变开关位置，即改变接入振荡电路的电阻 RP1~RP3，调节 RP1~RP3，可以调节每一通道的具体频率。振荡脉冲由 3 号引脚输出，驱动红外发光二极管发射红外光，即实现了用振荡脉冲对红外光的调制。

2.2.2 红外接收线路原理图

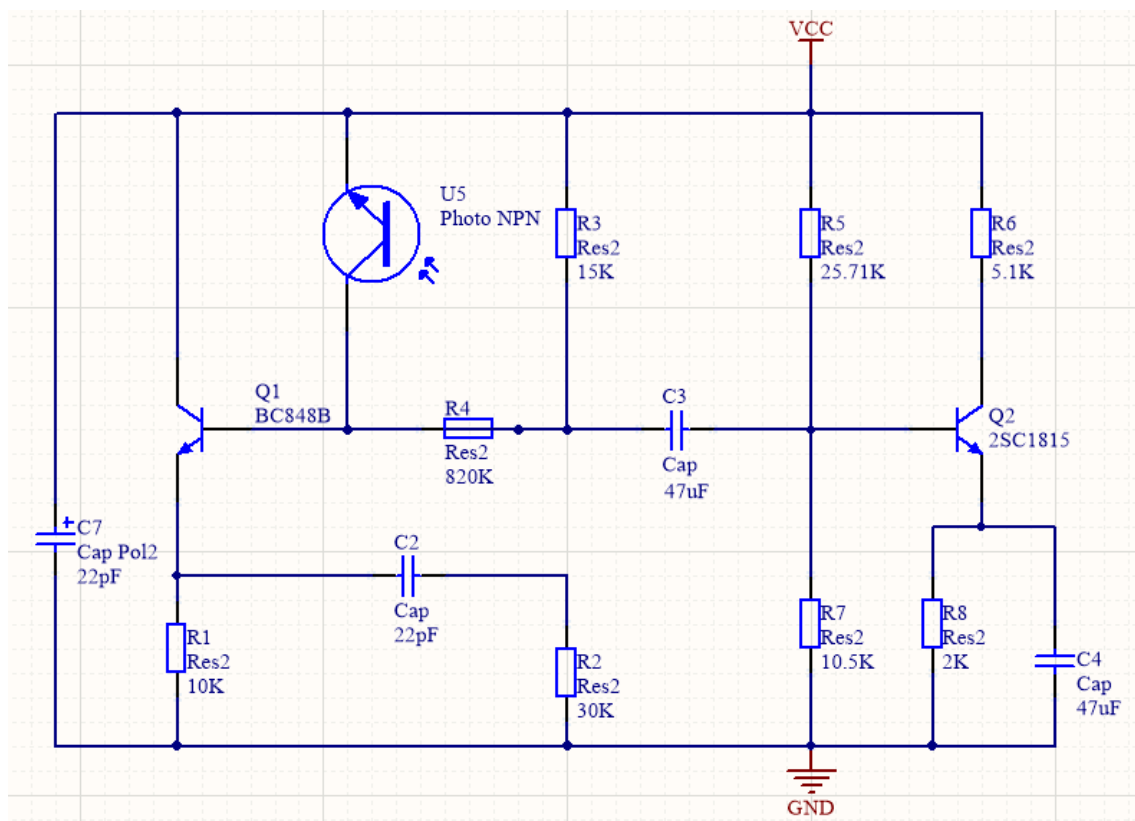


图 2.3 红外接收线路原理图

利用光电二极管接收上述红外发射电路发射的红外线，利用光照强弱来改变电路中的电流，通过 BC848B 和 2SC1815 三极管的放大和解调，输出得到期望的电压

第3章 仿真

在 Multisim 中，依据电路原理图搭建电路进行仿真测试

3.1 红外发射 Multisim 仿真电路

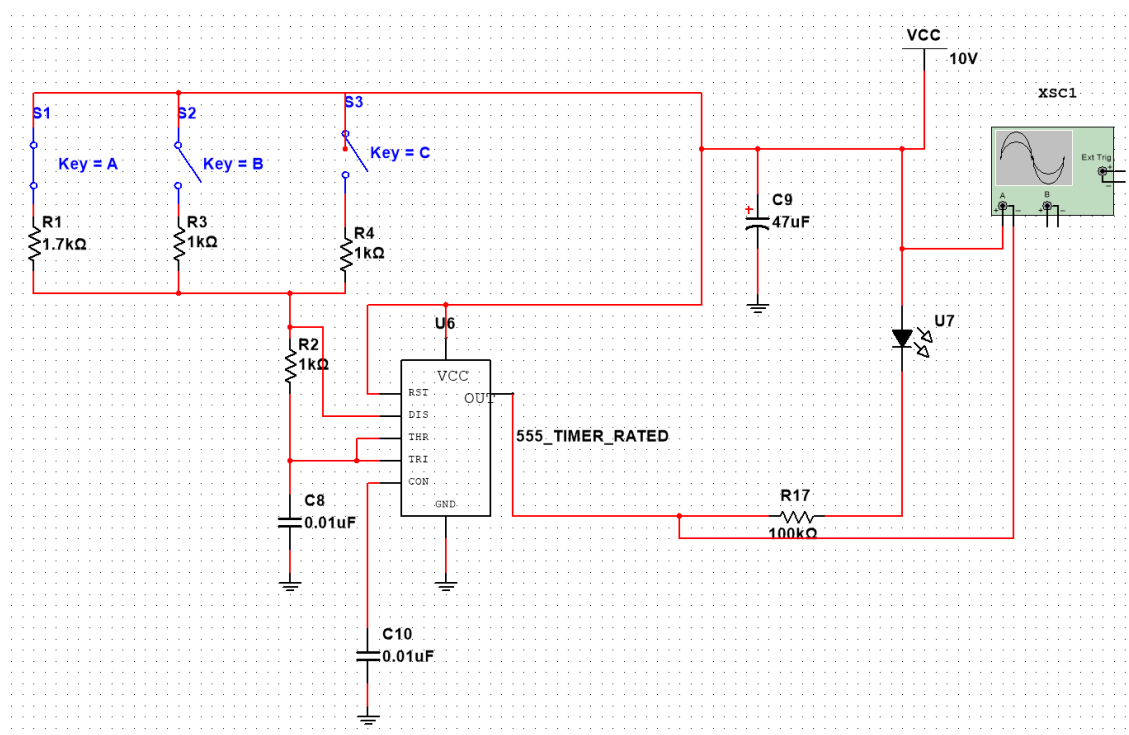


图 3.1 红外发射 Multisim 仿真电路

参数分析：

此处，我们使得 R_B 为 $1k$ ，为了产生使用 NE555 产生 $38kHz$ 的方波信号。

由下式可知：

频率 = $0.693 / ((R_A + 2R_B) * C)$ 占空比 = $R_B / (R_A + 2R_B)$

将 $R_B = 1k$ ， $C = 0.01\mu$ 带入得到

$R_A = 1.7$ ，因此我们需要 $1.7k$ 的电阻。

此时输出的期望信号为 $38kHz$ 、 26.4% 占空比的方波。

其中 U7 为发光二极管，其参数如下：

PHOTO_DIODE_RATED

Label	Display	Value	Pins	Variant
Animation slowdown factor:		5		
Light channel (integer):		1		
On current (I _{on}):		5m	A	
Reverse breakdown voltage:		60	V	
Maximum rated power (Watts):		250m		

图 3.2 U7 参数

测量其输出电压波形如下：

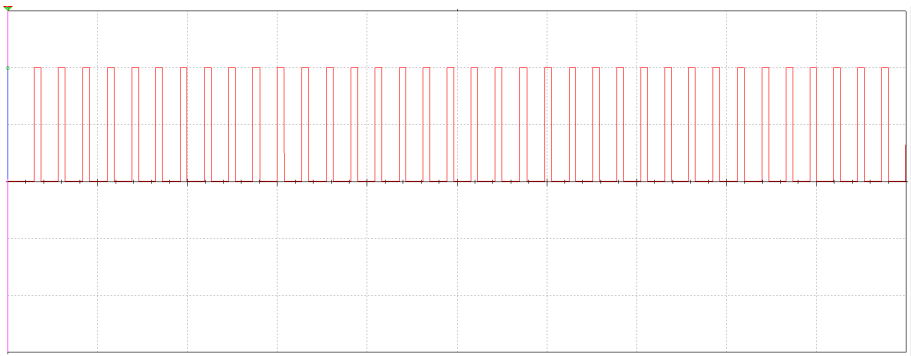


图 3.3 红外发射整体波形

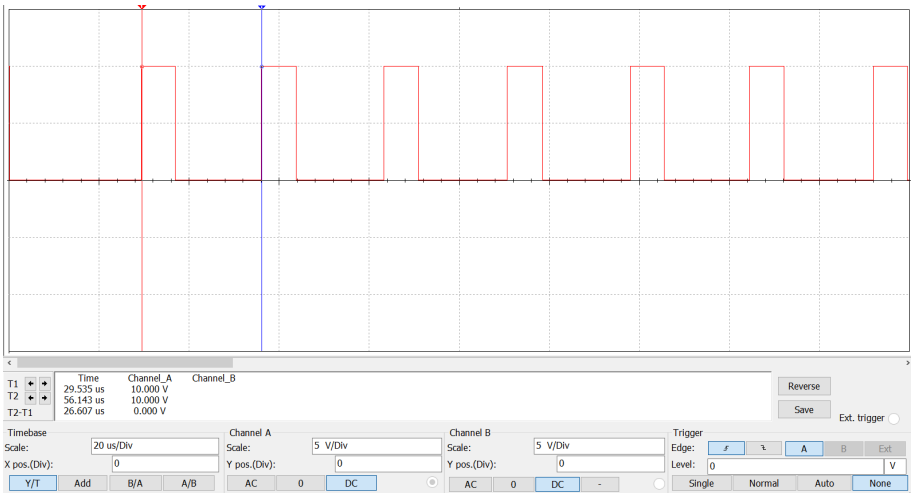


图 3.4 红外发射周期

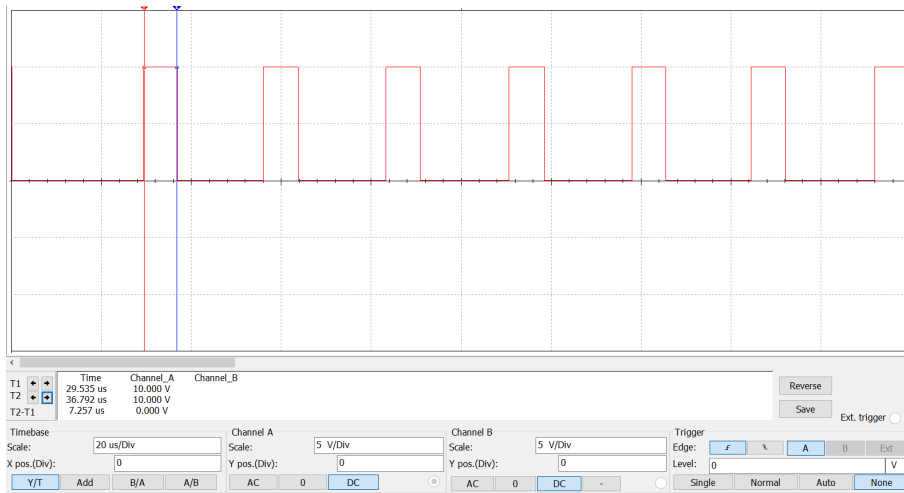


图 3.5 红外发射占空比

3.2 红外接收 Multisim 仿真电路

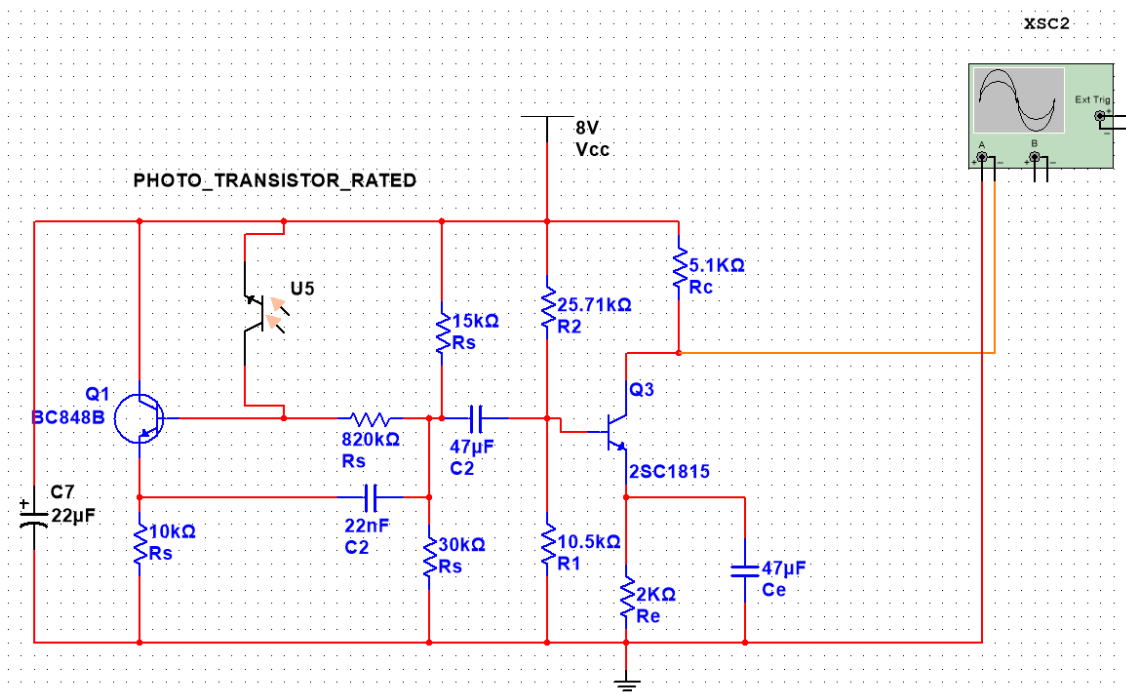


图 3.6 红外接收 Multisim 仿真电路

其中 U5 为发光二极管，其参数如下：

PHOTO_TRANSISTOR_RATED

Label	Display	Value	Pins	Variant
Animation slowdown factor:		5		
Light channel (integer):		1		
Maximum collector-emitter voltage:		40		V
Maximum collector current:		200m		A

图 3.7 U5 参数

测量其输出电压波形如下：

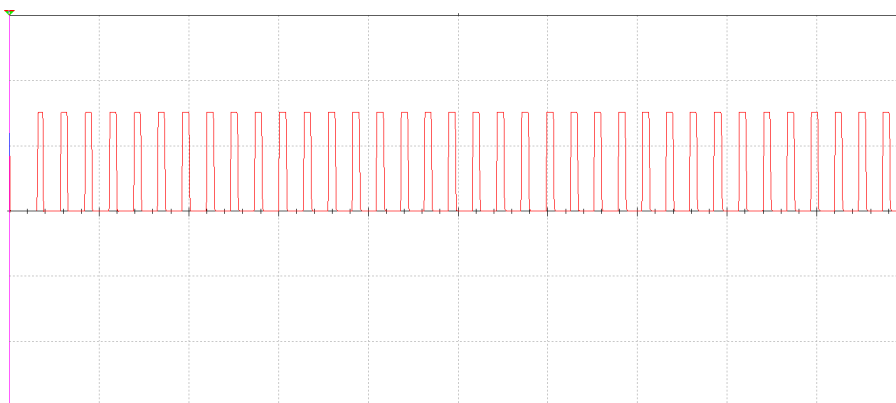


图 3.8 红外接收整体波形

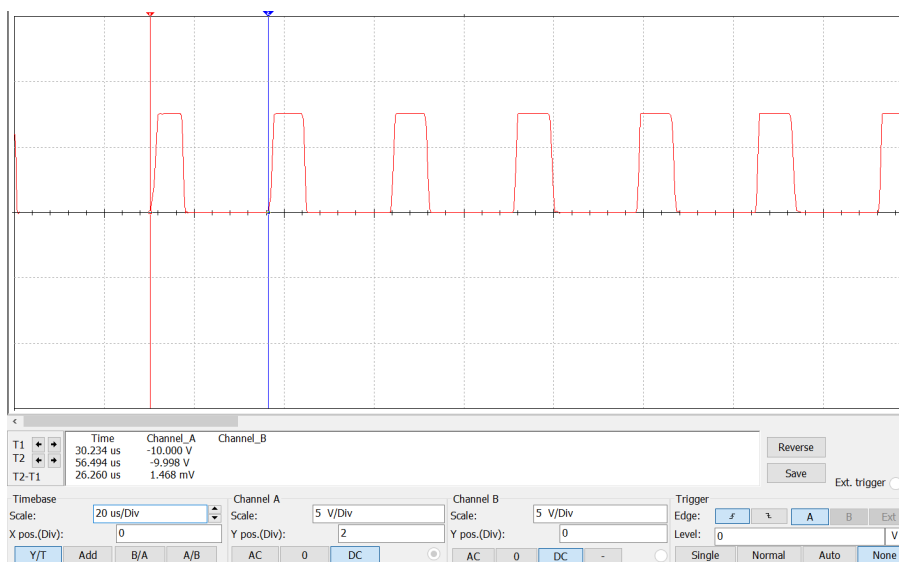


图 3.9 红外接收周期

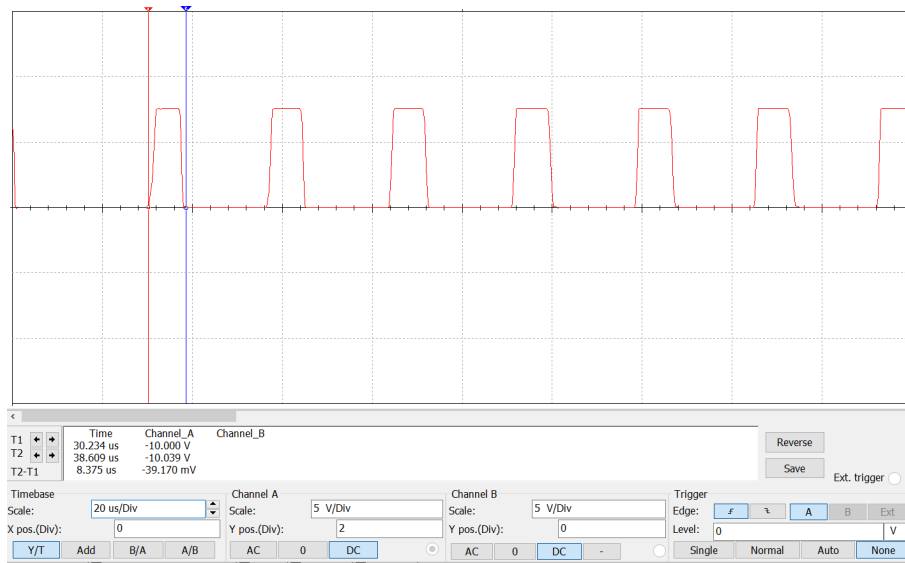


图 3.10 红外接收占空比

结果分析:

期望信号为 38kHz、26.4% 占空比的方波。

实际红外发射信号周期为: 26.607us, 即频率为 37.584kHz, 误差为 1.10%

实际红外发射信号占空比为: 7.257us/26.607us, 即为 27.27%, 误差为 3.30%

实际红外发射信号电压大小: 10V

当以实际红外发射信号发射时, 分析实际红外接收信号。

实际红外接收信号周期为: 26.260us, 即频率为 38.08kHz, 误差为 1.30%

实际红外接收信号占空比为: 8.375us/26.260us, 即为 31.89%, 误差为 16.94%

实际红外接收信号电压大小: -20V, 放大了-2 倍

并且此时接收信号反映稍微的延时。因此实际占空比误差应该更小

均在误差允许范围之内, 据此进行 PCB 的制作和设计结果分析。

第 4 章 PCB

通过仿真证明可以完整实现红外发射和接收任务，在此设计两块 PCB 板以将其实现。

4.1 红外发射 PCB 板

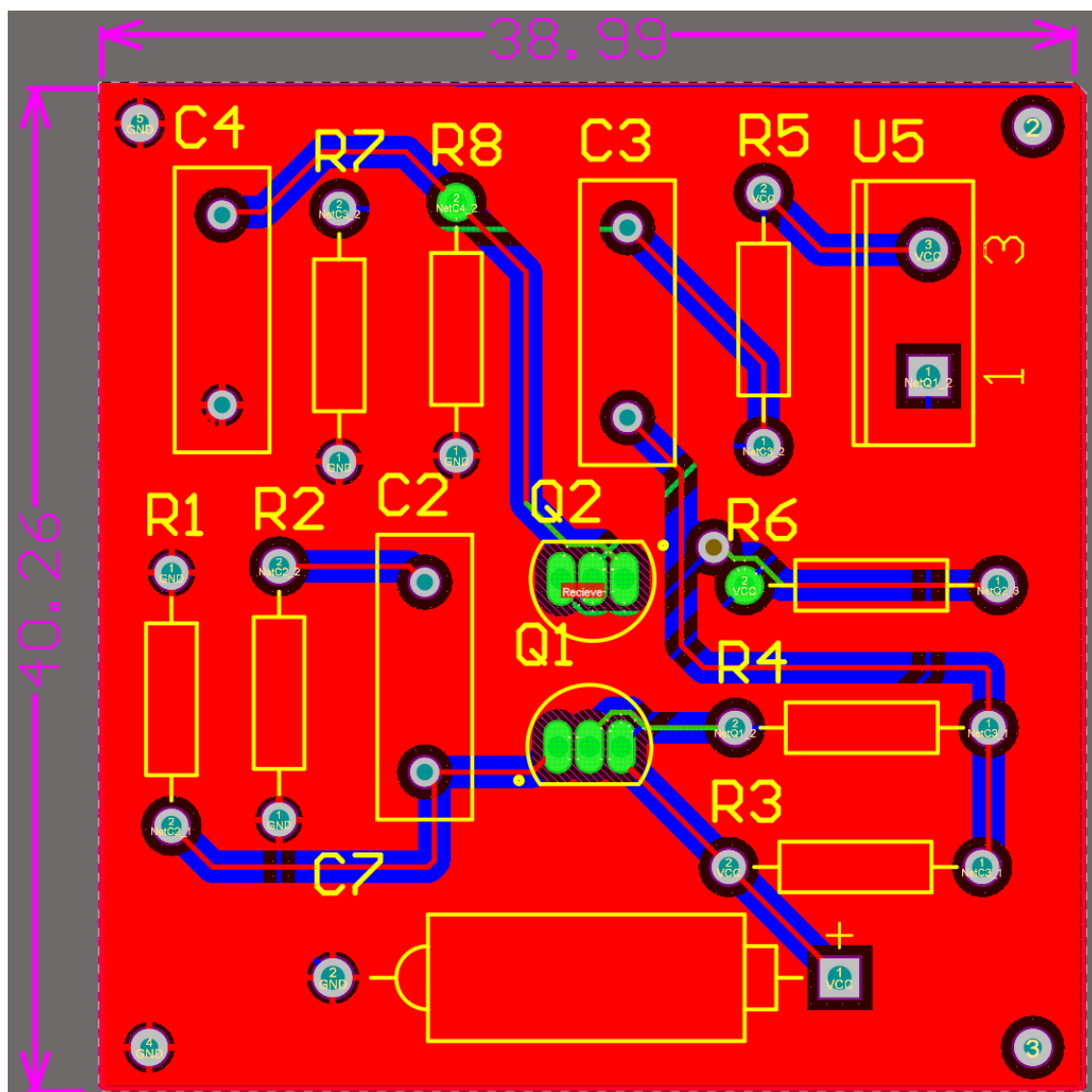


图 4.1 Top Layer

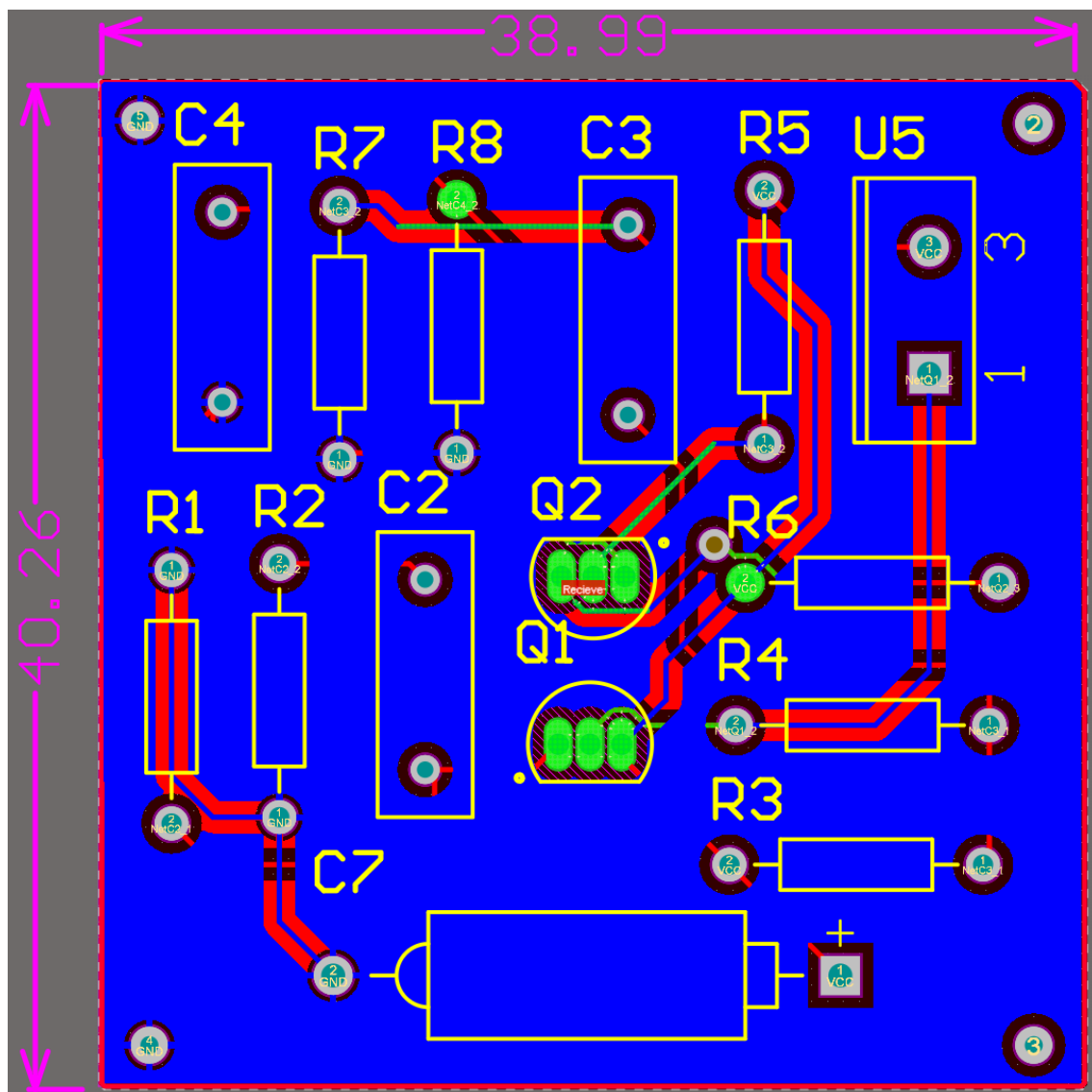


图 4.2 Bottom Layer

4.2 红外接收 PCB 板

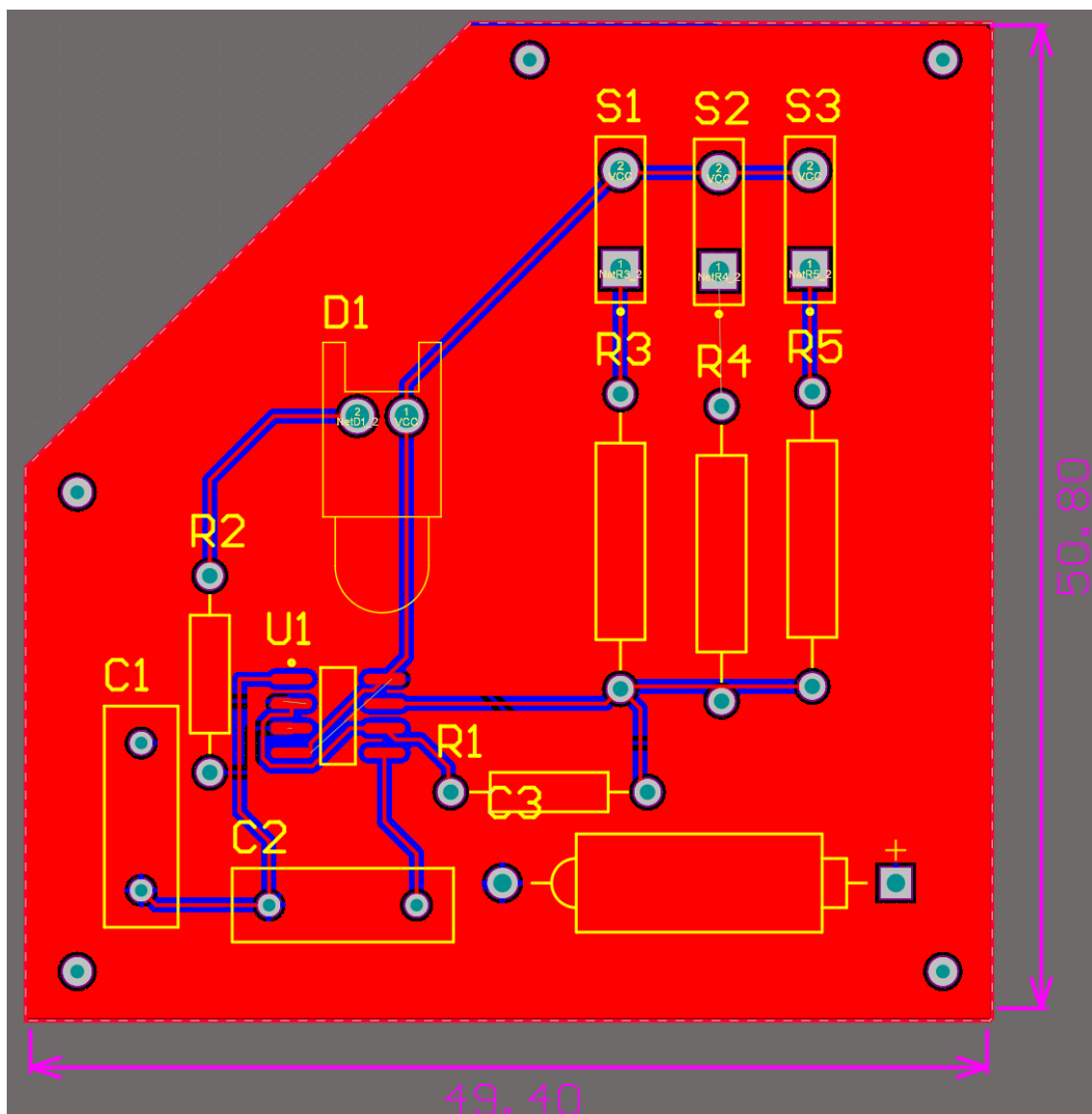


图 4.3 Top Layer

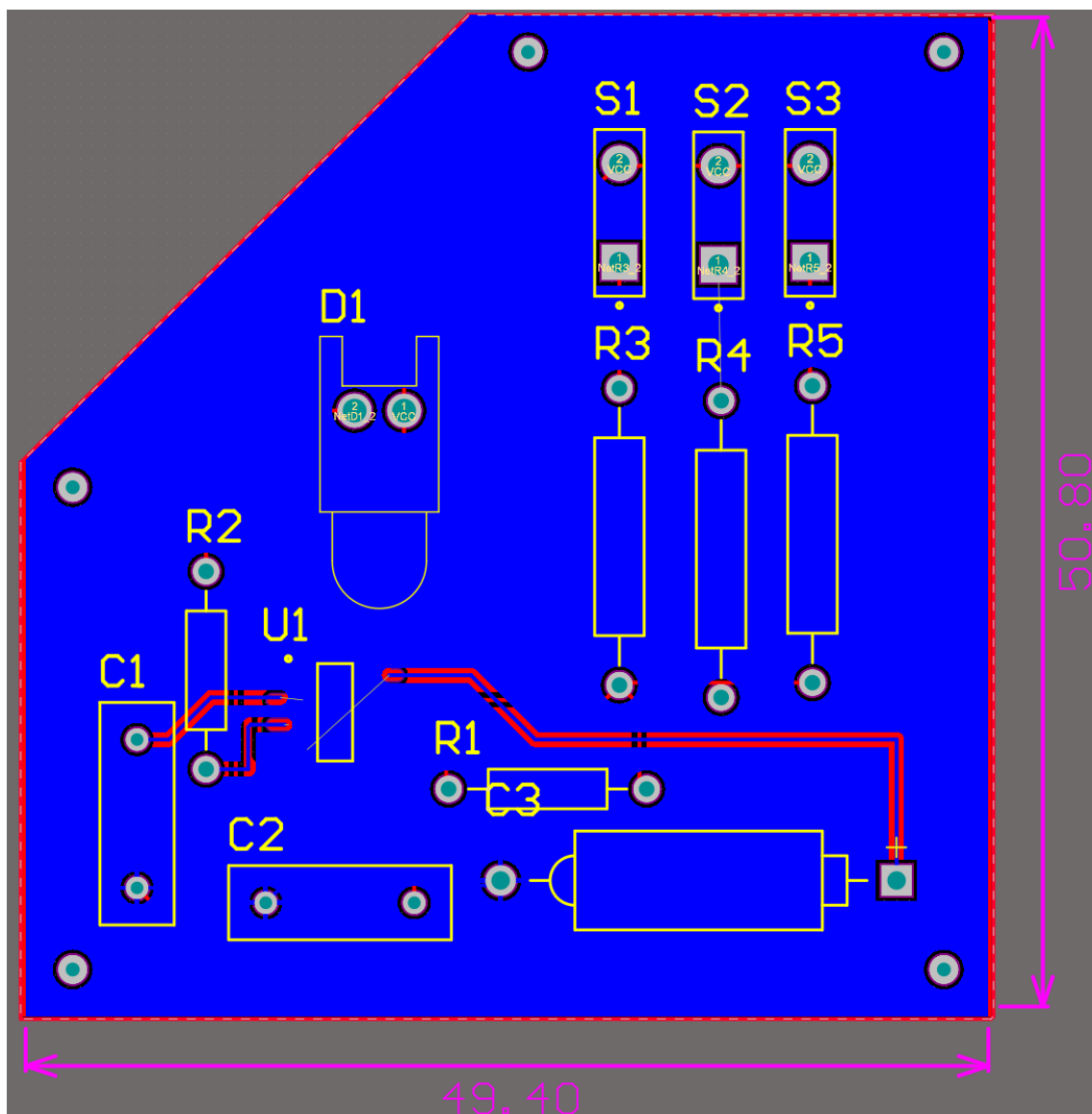


图 4.4 Bottom Layer

4.3 关键元器件参数

NE555 参数:

7.3 Recommended Operating Conditions

over operating free-air temperature range (unless otherwise noted)

			MIN	MAX	UNIT
V _{CC}	Supply voltage	NA555, NE555, SA555	4.5	16	V
		SE555	4.5	18	
V _I	Input voltage	CONT, RESET, THRES, and TRIG	V _{CC}		V
I _O	Output current				±200 mA
T _A	Operating free-air temperature	NA555	−40	105	°C
		NE555	0	70	
		SA555	−40	85	
		SE555	−55	125	

图 4.5 NE555 参数

2SC1815 参数:

Characteristics	Symbol	Test Condition	Min	Typ.	Max	Unit
Collector cut-off current	I_{CBO}	$V_{CB} = 60\text{ V}, I_E = 0$	—	—	0.1	μA
Emitter cut-off current	I_{EBO}	$V_{EB} = 5\text{ V}, I_C = 0$	—	—	0.1	μA
DC current gain	$h_{FE} (1)$ (Note)	$V_{CE} = 6\text{ V}, I_C = 2\text{ mA}$	70	—	700	
	$h_{FE} (2)$	$V_{CE} = 6\text{ V}, I_C = 150\text{ mA}$	25	100	—	
Collector-emitter saturation voltage	$V_{CE} (\text{sat})$	$I_C = 100\text{ mA}, I_B = 10\text{ mA}$	—	0.1	0.25	V
Base-emitter saturation voltage	$V_{BE} (\text{sat})$	$I_C = 100\text{ mA}, I_B = 10\text{ mA}$	—	—	1.0	V
Transition frequency	f_T	$V_{CE} = 10\text{ V}, I_C = 1\text{ mA}$	80	—	—	MHz
Collector output capacitance	C_{ob}	$V_{CB} = 10\text{ V}, I_E = 0, f = 1\text{ MHz}$	—	2.0	3.5	pF
Base intrinsic resistance	$r_{bb'}$	$V_{CE} = 10\text{ V}, I_E = -1\text{ mA}$ $f = 30\text{ MHz}$	—	50	—	Ω
Noise figure	NF	$V_{CE} = 6\text{ V}, I_C = 0.1\text{ mA}$ $f = 1\text{ kHz}, R_G = 10\text{ k}\Omega$	—	1.0	10	dB

Note: h_{FE} classification O: 70~140, Y: 120~240, GR: 200~400, BL: 350~700

图 4.6 2SC1815 参数

BC848B 参数:

Symbol	Parameter	Conditions	Min	Typ	Max	Unit
V_{CEO}	collector-emitter voltage	open base	-	-	30	V
I_C	collector current		-	-	100	mA
h_{FE}	DC current gain	$V_{CE} = 5\text{ V};$ $I_C = 2\text{ mA}$				
		BC848B	200	290	450	
		BC848W	110	-	800	

图 4.7 BC848B 参数

4.4.3 管脚数量

32 Objects - None Selected			32 Objects - 1 Selected		
Object Type	Document	Identifier	Object Type	Document	Identifier
Pin	Infrared Reception_Sch.Scl	C2-1	Pin	Infrared Emission_Sch.Schl	C1-1
Pin	Infrared Reception_Sch.Scl	C2-2	Pin	Infrared Emission_Sch.Schl	C1-2
Pin	Infrared Reception_Sch.Scl	C3-1	Pin	Infrared Emission_Sch.Schl	C2-1
Pin	Infrared Reception_Sch.Scl	C3-2	Pin	Infrared Emission_Sch.Schl	C2-2
Pin	Infrared Reception_Sch.Scl	C4-1	Pin	Infrared Emission_Sch.Schl	C3-1
Pin	Infrared Reception_Sch.Scl	C4-2	Pin	Infrared Emission_Sch.Schl	C3-2
Pin	Infrared Reception_Sch.Scl	C7-1	Pin	Infrared Emission_Sch.Schl	D1-1
Pin	Infrared Reception_Sch.Scl	C7-2	Pin	Infrared Emission_Sch.Schl	D1-2
Pin	Infrared Reception_Sch.Scl	Q1-1	Pin	Infrared Emission_Sch.Schl	R1-1
Pin	Infrared Reception_Sch.Scl	Q1-2	Pin	Infrared Emission_Sch.Schl	R1-2
Pin	Infrared Reception_Sch.Scl	Q1-3	Pin	Infrared Emission_Sch.Schl	R2-1
Pin	Infrared Reception_Sch.Scl	Q2-1	Pin	Infrared Emission_Sch.Schl	R2-2
Pin	Infrared Reception_Sch.Scl	Q2-2	Pin	Infrared Emission_Sch.Schl	R3-1
Pin	Infrared Reception_Sch.Scl	Q2-3	Pin	Infrared Emission_Sch.Schl	R3-2
Pin	Infrared Reception_Sch.Scl	R1-1	Pin	Infrared Emission_Sch.Schl	R4-1
Pin	Infrared Reception_Sch.Scl	R1-2	Pin	Infrared Emission_Sch.Schl	R4-2
Pin	Infrared Reception_Sch.Scl	R2-1	Pin	Infrared Emission_Sch.Schl	R5-1
Pin	Infrared Reception_Sch.Scl	R2-2	Pin	Infrared Emission_Sch.Schl	R5-2
Pin	Infrared Reception_Sch.Scl	R3-1	Pin	Infrared Emission_Sch.Schl	S1-1
Pin	Infrared Reception_Sch.Scl	R3-2	Pin	Infrared Emission_Sch.Schl	S1-2

(a) 红外发射 PCB
板管脚数量(b) 红外接收 PCB 板管脚
数量

图 4.10 管脚数量

统计得到管脚数量为 64 根。

4.4.4 进一步查看

欢迎老师进行进一步的查看，附录中有：

0. 论文写作的所有文件。以证明文章的原创性，需要使用 Latex 打开。

1. 原始版本的计划书。

2. AD 原理图以及 PCB。里面有两个文件，分别是发射和接收，内有 PCB 和原理图源文件。

3. Multisim 仿真及结果。里面有大量图片，均是仿真后的原图，文件需要使用 Multisim14 打开。

4. 关键元器件手册。含有三个关键器件的芯片手册。

非常希望老师能给出宝贵意见。随时可以联系我：812079716@qq.com。非常感谢老师！